## ТЕРМИЧЕСКОЕ РАЗЛОЖЕНИЕ КОМПЛЕКСОВ КОБАЛЬТА С МОНОЭТАНОЛАМИНОМ

Ю.А. Михайленко, Б.Г. Трясунов

Изучены процессы термолиза комплекса  $[Co^{III}(LH)_2(L)][Co^{III}(LH)(L)_2][Co^{III}Cl\cdot H_2O]$ , где LH = моноэтаноламин  $(NH_2(CH_2)_2OH)$ , в атмосфере воздуха и гелия при 25-600 $^0$ C. Согласно полученным данным термическое разложение сопровождается потерей лиганда до образования исходной соли и последующим распадом ее с формированием оксида металла.

В [1] показано, что термическое разложении моноэтаноламинных комплексов меди и никеля идет через стадию образования высокодисперсных порошков металлов. Полное восстановление меди до металлической фазы наблюдали и при термическом распаде комплексов формиата меди с аммиаком [2].

Цель нашей работы – изучение процесса термолиза моноэтаноламинного комплекса кобальта.

#### ЭКСПЕРИМЕНТАЛЬНАЯ ЧАСТЬ

работе использовали комплекс  $[Co^{III}(LH)_2(L)][Co^{III}(LH)(L)_2][Co^{II}CI_4]CI_4]CI_4$ , где LH - моноэтаноламин (МЭА), синтезированный согласно [3], проанализированный на содержание кобальта и хлорид-иона (таблица 1). Термический анализ комплекса был проведен на воздухе (прибор Q-1500Д в условиях неизотермического нагрева с эталоном с-Al<sub>2</sub>O<sub>3</sub> при скорости нагрева 5 град/мин в интервалах температур 25-600°C) и в инертной атмосфере гелия (на синхронном термоанализаторе NETZSCH STA 409 PG/PC LUXX<sup>R</sup> в условиях программируемого неизотермического нагрева с эталоном α-Al<sub>2</sub>O<sub>3</sub> при скорости нагрева 10 град/мин в интервале температур 25-600°C).

Для выяснения механизма происходящих процессов выделены промежуточные продукты, соответствующие различным стадиям термолиза. Состав продуктов термолиза на воздухе изучали при 110, 240, 360 и 600 С. ИК спектры образцов регистрировались на инфракрасном Фурье - спектрометре System - 2000 фирмы "Perkin-Elmer" с прессованием образцов в таблетку с КВг. Для продукта разложения получена дифрактограмма на дифрактометре ДРОН-3M (CuK<sub>α</sub>излучение). Элементный анализ продукта разложения проводили на аналитическом сканирующем электронном микроскопе JSM 6490 LA фирмы JEOL оснащенном EDSспектрометром JED 2300.

Таблица 1
Результаты химического анализа комплекса I
и продукта его термолиза на воздухе

Со- едине- ние	t, °C	Содержание, мас. найде- но/вычислено,%		
		Co	CI	0
Ι	25	24,65 24,54	23,87 24,07	1
Co <sub>3</sub> O <sub>4</sub>	600	71,64 73,44	-	23,74 26,55

### РЕЗУЛЬТАТЫ И ОБСУЖДЕНИЯ

Термолиз на воздухе. При термолизе на воздухе соединение I разлагается с интенсивной потерей массы при 360 и 410°C. В целом термогравиграмма (рисунок 1) имеет несколько эндоэффектов. Потеря массы (таблица 2), соответствующая первой стадии начинается около 80°C, максимум на кривой ДТА лежит при 110°C. Изменение массы при этом (2,2%) соответствует одной молекуле кристаллизационной воды (расчетное значение 2,4%). С удалением кристаллизационной воды связаны и изменения, регистрируемые методом ИК-спектроскопии. Колебательные частоты v(H<sub>2</sub>O) лежащие в области 3557-3200 см-1 присутствующие в исходном соединении І, отсутствуют в спектре продукта первой стадии термолиза. Следующая стадия (потеря массы 40,0%) соответствует потере шести молекул МЭА, данный процесс протекает в две ступени (на кривой ДТА наблюдаются два эндоэффекта с максимумами при 240 и 360°C). Вещество при этом начинает разлагаться с образованием газообразных продуктов, характерных для аминных комплексов. В ИК спектре продукта термолиза (при 250°C) по сравнению с ИК спектром исходного комплекса наблюдается полоса при 1411 см<sup>-1</sup> характерная для  $\mathrm{NH_4}^+$ . Одновременно происходит сдвиг полос, отвечающих за координацию  $v_s(NH_2)$ ,  $v_{as}(NH_2)$  и  $\delta(NH_2)$ . При 360°C полосы поглощения координированного МЭА отсутствуют.

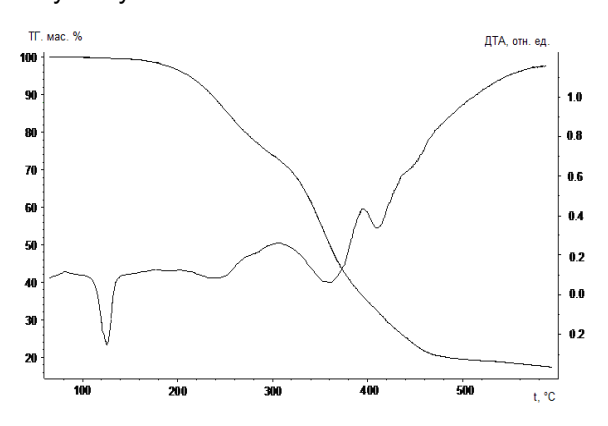


Рисунок 1. Кривые ДТА и ТГ для [Co<sup>III</sup>(LH)<sub>2</sub>(L)][Co<sup>III</sup>(LH)(L)<sub>2</sub>][Co<sup>II</sup>Cl<sub>4</sub>]Cl·H<sub>2</sub>O на воздухе

Эндоэффект при  $410^{\circ}$ С связан с удалением хлора и присоединением кислорода к кобальту (потеря массы 27,0%) [4]. Процесс термического разложения полностью заканчивается при  $600^{\circ}$ С. Рентгенограмма, полученная для конечного продукта показала образование  $Co_3O_4$ .

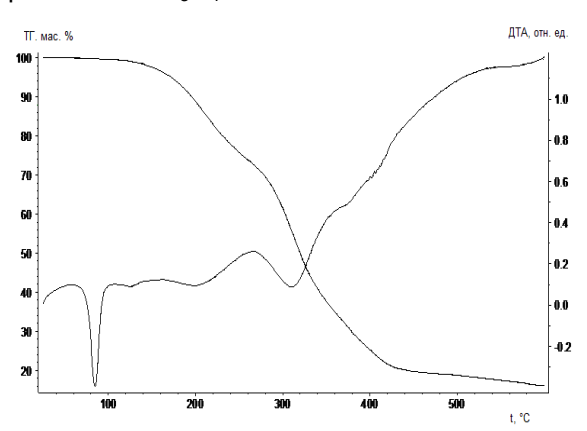


Рисунок 2. Кривые ДТА и ТГ для  $[Co^{III}(LH)_2(L)][Co^{III}(LH)(L)_2][Co^{II}CI_4]CI\cdot H_2O$  в гелии

В ИК спектре  $Co_3O_4$  присутствуют две четко выраженные полосы поглощения с частотами 601 см $^{-1}$  и 680 см $^{-1}$ , относящиеся, к колебаниям оксидной решетки нормальной шпинели. Появление полосы поглощения с частотой 680 см $^{-1}$  свидетельствует о тетраэдрическом окружении катиона  $Co^{2+}$  [5].

**Термолиз в гелии.** При нагревании в атмосфере гелия разложение комплекса  $[Co^{III}(LH)_2(L)][Co^{III}(LH)(L)_2][Co^{III}Cl_4]Cl\cdot H_2O$  (рисунок 2) сопровождается тремя основными стадиями потери массы в интервалах 70-100, 163-235 и 239-350°C. Первый эндотермиче-

ский эффект наблюдается при несколько более низкой температуре, чем на воздухе (на  $28^{\circ}$ C) и также отвечает удалению одной молекулы кристаллизационной воды (потеря массы 2,4%). Дальнейшее разрушение комплекса происходит в области  $163-433^{\circ}$ C и сопровождается четырьмя эндоэффектами с максимумами при 210, 312, 375 и  $407^{\circ}$ C. На первой стадии (потеря массы 16,0%) происходит отщепление двух молекул LH из катиона  $[\text{Co}^{\text{III}}(\text{LH})_2(\text{L})]^{2+}$  (расчетное значение 16,6%). На второй стадии идет отщепление трех молекул L и одной LH (потеря массы 45.9%, расчетное 49,4%). Процесс термического разложения полностью заканчивается при  $520^{\circ}$ C.

Таблица 2 Результаты термического анализа  $[{\rm Co}^{\rm III}({\rm LH})_2({\rm L})][{\rm Co}^{\rm III}({\rm LH})({\rm L})_2][{\rm Co}^{\rm III}({\rm Cl})_4]{\rm Cl}\cdot{\rm H}_2{\rm O}$ 

. /2(/31	( )( )231				
№ стадии	t, °C	Степень раз- ложения на каждой ста- дии, %			
в атмосфере воздуха					
I	110	2,2			
II	240	4			
III	360	40			
IV	410	27			
в атмосфере гелия					
I	80	2,4			
II	210	16,0			
III	312	45,9			
IV	375	20,0			
V	407	8,0			

Факт выделения металлической фазы, наблюдаемый при термораспаде моноэтаноламинных комплексов меди и никеля [1], в случае с моноэтаноламинным комплексом кобальта не наблюдается.

#### СПИСОК ЛИТЕРАТУРЫ

- Хворов М. М., Чирков А. С., Химченко Ю. И. Термическое разложение моноэтаноламинных комплексов меди и никеля // Укр. хим. журн. 1984. Т. 50. № 9. С. 924-928.
- Hyksova D., Langfelderova H., Gazo J. Fomiato kupfer(II) komplexe mit manchen stickstoff(II) liganden, ihre darstellung und eigenschaften // Chem. zwesti. 1976. Vol. 30. N 5. P. 583-591.
- Михайленко Ю. А., Черкасова Т. Г. Смешанновалентный комплекс хлорида кобальта с моноэтаноламином // Вестн. Кузбасс. гос. технич. ун-та. Кемерово. 2006.
   № 2. С. 92-93.

- Rustagi S. C., Rao G. N. Structure and thermal behaviour of monoethanolamine and isopropanolamine complexes of metals // J. Inorg. and Nucl. Chem. 1974. V. 36. P. 1161-1163.
- Сергеева О. В., Конин Г. А., Хмелевская Л. В., Большаков А. М. Поведении оксидов кобальта при конверсии смеси NO и CO // Журн. неорган. химии. 1999. Т. 44. № 6. С. 907-911.

# ВЗАИМОДЕЙСТВИЕ МЕТАЛЛОВ С ПРОДУКТАМИ РАЗЛОЖЕНИЯ ПЛАСТИФИЦИРОВАННОГО НИТРОЭФИРНИТРОАМИННЫМИ СОЕДИНЕНИЯМИ ТЕТРАЗОЛЬНОГО ПОЛИМЕРА

А.Г. Вакутин, М.В. Комарова, В.Ф. Комаров, А.Б. Ворожцов, Г.В. Сакович

По скорости тепловыделения изучено взаимодействие ультрадисперсных металлов различной химической природы с продуктами распада тетразольного полимера пластифицированного нитроэфирнитроаминами.

#### **ВВЕДЕНИЕ**

Цель исследования связана с получением информации, необходимой для выяснения роли металла при детонации композиционных взрывчатых веществ (КВВ). Уже десятилетиями для повышения мощности КВВ в их состав вводится металл, преимущественно, алюминий. Однако роль металла в процессе детонации различными исследователями оценивается неоднозначно. Если увеличение теплоты взрыва в композициях с металлом за счёт его окисления продуктами детонации (ПД) и возрастание фугасного действия не оспаривается, то снижение скорости детонации в таких случаях считается признаком нереальности увеличения метательной способности КВВ [1-3]. В то же время доказывается. что "скорость детонации не может быть мерилом мощности" [4], на экспериментальных профилях давления металлсодержащих композиций возникают "полки" и двухпиковые структуры [5, 6]; методом оптической пирометрии [7] и измерением электропроводности [8] регистрируется вступление металла в реакцию с ПД. Тогда, если принципиально при детонации КВВ металл может вступать в химическую реакцию с ПД, то наличие или отсутствие эффекта повышения метательной способности связано со скоростью этой реакции и той окислительной средой, в которой он находится. Подтверждением сказанному могут служить экспериментальные данные, полученные на бис-(дифтораминодинитроэтил)нитроамине [9] и нами с КВВ на базе октогена с пластифицированным нитроэфирнитратамином - тетразольным полимером [10, 11].

Таким образом, есть основания считать, что в составе КВВ металл повышает его мощность как при длительном расширении ПД, так и при кратковременной передаче энергии метаемому элементу, если созданы необходимые условия для его взаимодействия с ПД. Но тогда кинетические параметры процесса, определяемые химической природой металла и размером его частиц, могут стать определяющими по тепловыделению, а алюминий может оказаться не самым эффективным. Прямое определение кинетических параметров реакции при давлениях и температурах взрыва остаётся пока недоступным в эксперименте. Косвенной их оценке посвящены материалы данного сообщения.

#### ЭКСПЕРИМЕНТАЛЬНАЯ ЧАСТЬ

Изготовление реального КВВ осуществляется путём перемешивания порошка металла с жидковязкой составляющей с последующим введением базового взрывчатого вещества. Из этого следует, что частички металла распределены в жидковязкой составляющей и будут, в первую очередь, при детонации взаимодействовать с продуктами её распада. Поэтому в качестве объекта исследования выбран реализованный при создании КВВ [10, 11] тетразольный полимер, пластифицированный смесью нитроэфиров с нитроаминами, смешанный с добавками металлов в соотношении 2:1 (таблица 1).

Все обследованные металлы, кроме стандартной мелкодисперсной марки алюминия АСД-8, являются ультрадисперсными и получены методом электровзрыва проволочек. Распределение таких частиц после вы-